

# Применение опознания с ЛЧМ-сжатием для проектирования радиоприемных устройств спектрально-разреженных сигналов

Д.Г. Гарш, В.А. Лесников, Н.А. Краев

Вятский государственный университет, [lesnikov.vladislav.ru@ieee.org](mailto:lesnikov.vladislav.ru@ieee.org)

**Аннотация** — Рассмотрено применение методики опознания со сжатием для построения радиоприемных устройств для поиска сигналов; описана процедура сжатия разреженных сигналов ЛЧМ – последовательности; приведен пример системы, использующей данную методику.

**Ключевые слова** — опознание со сжатием, Compressive Sensing, сжатая дискретизация, ЛЧМ-кодирование, Chirp sensing codes.

## I. ОПОЗНАНИЕ СО СЖАТИЕМ

### A. Задачи опознания со сжатием

Пусть на вход приемной системы подается аналоговый сигнал, который полностью описывается вектором  $x$  длиной  $N$ . Для представления этого сигнала в цифровой форме в системе производится дискретизация, результатом которой является вектор  $y$  длиной  $M$ . В процессе приема на сигнал оказывается некоторое воздействие, которое можно описать матрицей  $A$  размером  $M \times N$ . Тогда процесс приема запишется как

$$y = A \cdot x. \quad (1)$$

В общем случае восстановить исходную информацию о векторе  $x$  по вектору  $y$  можно, если  $M \geq N$ . Такое восстановление осуществляется обращением матрицы  $A$ :  $x = A^{-1}y$ .

Однако, благодаря развитию технологии опознания со сжатием (англ. Compressive Sensing [1]), доказано, что при соблюдении определенных условий ([2]) полное восстановление возможно даже при  $M < N$ .

Если исходный сигнал  $x$  содержит только  $s$  значимых, ненулевых компонентов, а остальные  $N - s$  компонентов равны либо близки к нулю, при этом количество значимых компонентов не больше числа принимаемых, т. е.  $s < M$ , то путем специальных операций до или в момент дискретизации возможно осуществить аналоговое сжатие исходного сигнала длиной  $N$  до выборки размером  $M$ .

Требование разреженности во временной области для вектора  $x$  может быть заменено требованием разреженности в некотором базисе. Если таким базисом

является матрица коэффициентов дискретного преобразования Фурье, то такой сигнал разрежен в частотной области. Опознание со сжатием позволяет произвести дискретизацию таких сигналов на частоте ниже (условие  $M < N$ ), чем того требует теорема отсчетов Котельникова. Тогда уравнение (1) можно переписать в виде

$$y = A \cdot x = A \cdot \Psi \cdot f = \Phi \cdot f, \quad (2)$$

где  $x$  и  $f$  - представления сигнала во временной и частотной областях,  $\Phi$  - матрица преобразования.

Задачами опознания со сжатием являются [3]:

- 1) построение такой матрицы  $\Phi$ , что вся интересующая информация, разреженная в  $f$ , перейдет в  $y$ ;
- 2) проектирование алгоритма реконструкции, позволяющего по полученным выборкам восстановить интересующую информацию.

### B. Случайный и детерминированный подход к построению матрицы $\Phi$

Существуют два подхода к построению  $\Phi$ .

Первый подход [3] основан на выборе случайной матрицы благодаря свойству случайных матриц с высокой долей вероятности успешного сжатия выходных отсчетов. Достоинством такого выбора является чрезвычайная простота построения систем опознания со сжатием и большая вероятность восстановления. К сожалению, для восстановления сжатой с помощью случайных матриц информации требуется применять алгоритмы оптимизации, которые требуют большого количества вычислительных операций. К подобным методам относятся: Basis Pursuit, Compressive Sampling Matching Pursuit, Orthogonal Matching Pursuit и др. [4].

Другой подход основан на выборе детерминированной матрицы  $\Phi$  таким образом, чтобы удовлетворять критериям не только сжимаемости сигналов, но и простоты последующего восстановления. Примерами таких методов являются Chirp Sensing Codes, Reed-Muller Codes, Low Density Parity Check Codes и др. [5]

В данной работе используется метод сжатия сигнала с помощью детерминированной матрицы ЛЧМ-последовательностей - Chirp Sensing Codes [6].

## II. МЕТОДИКА ОПОЗНАНИЯ СО СЖАТИЕМ С ИСПОЛЬЗОВАНИЕМ ЛЧМ – КОДОВ

### A. Построение матрицы измерений

Для кодирования входной последовательности используются векторы из  $M$  отсчетов ЛЧМ-сигнала, которые описываются формулой

$$v_{m,r}(t) = \alpha \cdot \exp(j2\pi \cdot t \cdot ((m-r) + rt)) \quad m, r \in Z_M, \quad (3)$$

где  $m$  - средняя частота ЛЧМ - сигнала,  $r$  - шаг изменения частоты ЛЧМ - сигнала,  $\alpha$  - масштабирующий коэффициент.

Пусть имеется действительный стационарный сигнал  $x(t)$  длиной  $N$ :

$$x(t) = \sum_{i=1}^s A_i \cos(2\pi \cdot f_i \cdot t + \varphi_i) + \varepsilon, \quad (4)$$

где  $A_i, f_i, \varphi_i$  - амплитуда, частота и начальная фаза значимых спектральных компонент,  $\varepsilon$  - отсчеты белого шума. Спектр этого сигнала содержит только  $s$  значимых компонент, а остальные компоненты не превышают уровень шума.

Процедура сжатия состоит из следующих шести шагов:

- 1) Каждая компонента модулируется ЛЧМ - сигналом с уникальным шагом  $r_i$ .
- 2) Промодулированные спектральные компоненты накладываются друг на друга, образуя сжатый вектор  $y$  длиной  $M$ , частота сжимаемых компонент в этом векторе определяется величиной  $m_i$ .

Матрица измерений  $\Phi$  будет состоять из  $N$  векторов  $v_{m_i, r_i}(t)$  длиной  $M$ . Каждому элементу  $f_i$  в этой матрице соответствует уникальный вектор с неповторимой парой  $(m_i, r_i)$ .

Выражение (2) перепишем следующим образом:

$$\underbrace{\begin{pmatrix} y_1 \\ \vdots \\ y_M \end{pmatrix}}_y = \underbrace{\begin{pmatrix} v_{m_1, r_1}(1) & \dots & v_{m_1, r_1}(M) \\ \vdots & \dots & \vdots \\ v_{m_N, r_N}(1) & \dots & v_{m_N, r_N}(M) \end{pmatrix}}_{\Phi} \times \underbrace{\begin{pmatrix} f_1 \\ \vdots \\ f_N \end{pmatrix}}_f. \quad (5)$$

В [6] приводится доказательство того, что данная матрица  $\Phi$  гарантирует восстановление исходного сигнала при заданных параметрах разреженности  $s$  и уровня шума  $\varepsilon$ .

### B. ЛЧМ – кодирование с помощью неэквидистантной дискретизации

Проще всего рассмотренный метод ЛЧМ - кодирования реализовать с помощью системы неэквидистантной дискретизации [7], представленной на рис. 1.

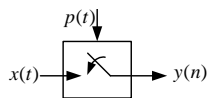


Рис. 1. Система неэквидистантной дискретизации

В подобной системе на вход тактирования дискретизатора подается сигнал

$$p(t) = \cos(2\pi f_s t + \Theta(t)). \quad (6)$$

Частота  $f_s$  этого сигнала модулируется специальной функцией  $\Theta(t)$ . Для реализации ЛЧМ - кодирования необходимо, чтобы  $\Theta(t)$  обеспечивала линейное приращение частоты, т.е.  $\Theta(t) = 2\pi r_s t^2$ . Тактовый сигнал в этом случае будет равен

$$p(t) = \text{Re}(v_{f_s, r_s}(t)). \quad (7)$$

Средняя частота  $f_s$  выбирается ниже удвоенной частоты Найквиста входного сигнала  $x(t)$  и кратной этой частоте:

$$2f_{\text{nyq}} / f_s = N / M = k, \quad k \in Z_M, \quad k > 1. \quad (8)$$

Сигнал  $x(t)$  разделится на  $k$  зон шириной  $f_s / 2$ , которые в момент дискретизации наложатся друг на друга, образуя сжатый вектор  $y$ . При этом четные зоны будут инвертированы.

Восстановление принятой последовательности возможно благодаря тому, что частотные компоненты исходного сигнала  $f_i$  в каждой из зон в момент дискретизации модулируются особенной функцией, которая является масштабированной копией исходной функции  $\Theta(t)$ :

$$\Theta_i(t) = \beta_i \cdot \Theta(t) = 2\pi \beta_i r_s t^2 = 2\pi r_i t^2. \quad (9)$$

Эффект масштабирования появляется за счет того, что частота дискретизации меняется от  $f_s - r_s / 2$  до  $f_s + r_s / 2$ , а весь последующий анализ сигнала происходит на частоте  $f_s$ . Масштаб  $\beta_i$  приращения исходных спектральных компонент  $f_i$  будет линейно возрастать с приращением частоты дискретизации:

$$\beta_i = f_i / f_s. \quad (10)$$

Пример дискретизации широкополосного стационарного сигнала  $x$  приведен ниже. На рис. 2 показан исходный четырехкомпонентный сигнал, а также спектрограмма дискретизирующего сигнала.

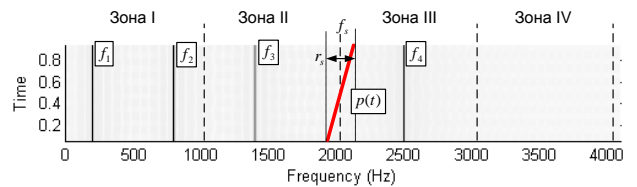


Рис. 2. Спектрограмма  $x(t)$  и  $p(t)$   
( $N = 8192$ ,  $k = 4$ ,  $f_1 = 200 \Gamma\text{ц}$ ,  $f_2 = 800 \Gamma\text{ц}$ ,  
 $f_3 = 1400 \Gamma\text{ц}$ ,  $f_4 = 2500 \Gamma\text{ц}$ ,  $f_s = M = 2048$ ,  $r_s = 80$ )

Во время приема происходит наложение четырех зон Найквиста. Если после дискретизации построить

спектрограмму принятого сигнала, взяв в качестве базовой частоты  $f_s$ , то принимаемые частоты промодулируются ЛЧМ - сигналами с шагом  $r_i$ .

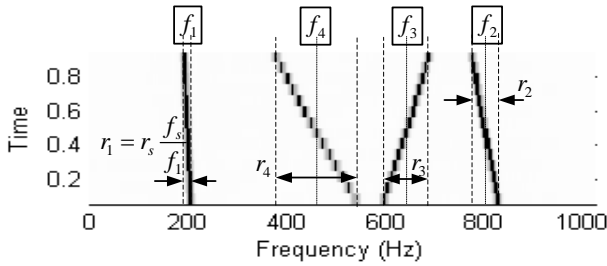


Рис. 3. Спектрограмма сжатого сигнала  $y(n)$  (базовая частота  $f_s = 2048$ )

### С. Восстановление

Алгоритм восстановления работает итерационно. За каждый проход вычисляется величина и положение в векторе  $f$  самой мощной спектральной составляющей  $f_i$ .

3) Нахождение шага  $r_i$  компоненты  $f_i$ .

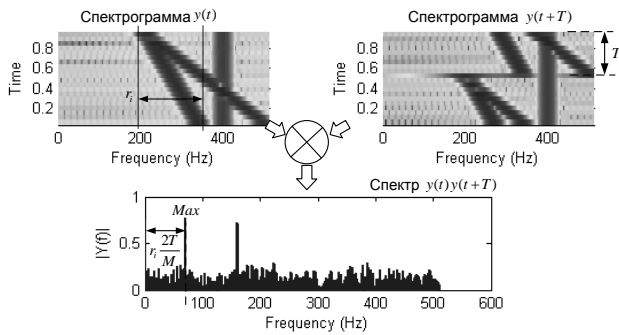


Рис. 4. Графическое представление процесса нахождения  $r_i = 70$ , при  $M = 1024$ ,  $T = M/2$

Для нахождения  $r_i$  используется умножение принятого сигнала на свою комплексно-сопряженную копию, сдвинутую на  $T$  отсчетов по времени  $y(t)y(t+T)$ . В результате такой операции происходит обратная демодуляция ЛЧМ-модулированного сигнала (спектры сдвинутой и исходной последовательности вычитаются). Спектр полученной последовательности  $y(t)y(t+T)$  будет содержать максимум на частоте равной  $r_i \cdot 2T/M$ .

4) Нахождение частоты  $m_i$  компоненты  $f_i$ .

Если умножить  $y(t)$  на комплексно-сопряженный ЛЧМ - сигнал  $v_{0,r_i}(t)$  с нулевой центральной частотой и шагом  $r_i$ , произойдет демодуляция отсчета  $f_i$ . Остальные элементы вектора  $f$  распределятся по спектру и их амплитуда будет невелика. Номер максимального элемента в спектре полученной функции

будет соответствовать  $m_i$ .

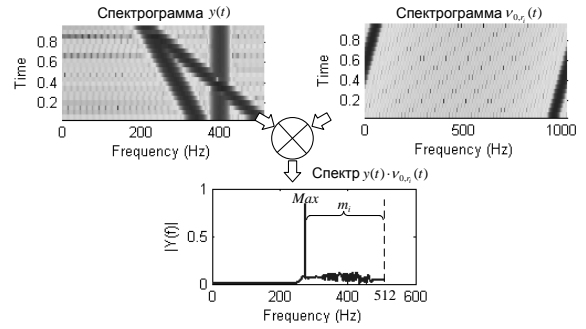


Рис. 5. Определение  $m_i = 238$ , для сигнала из зоны 2 с частотой  $f_i = 750 \Gamma\text{ц}$

5) Нахождение частоты и амплитуды  $f_i$ .

Зону Найквиста, в которой располагается искомый вектор  $f_i$ , можно определить, проанализировав найденный шаг  $r_i$ . Положение в этой зоне определяется частотой  $m_i$ . Величина вектора  $f_i$  будет определяться величиной вектора  $m_i$ . При этом надо учитывать, что  $|m_i| = \alpha |f_i| + \varepsilon_i$ , где  $\alpha$  - масштабирующий коэффициент,  $\varepsilon_i$  - шум, который образуется при наложении  $k$  зон друг на друга.

б) Исключение  $f_i$  из анализируемого сигнала:  $y(t) = y(t) - f_i v_{m_i, r_i}(t)$ . Оценка невязки  $\|y\|_2^2 > \varepsilon$ . Если энергия сигнала  $\|y\|_2^2$  превышает заданный уровень шума  $\varepsilon$  - переход к шагу 1.

Вычислительная сложность метода составляет  $O(sM \log(M))$ . Это делает его одним из самых быстрых алгоритмов восстановления в системах опознания со сжатием.

### D. Увеличение точности восстановления

К сожалению, рассмотренный алгоритм обладает низкой устойчивостью при восстановлении зашумленных сигналов.

Вероятность восстановления можно увеличить, если на шаге 1 определять значение  $r_i$  путем выборки и усреднения по нескольким последовательностям  $y(t)y(t+T_1), \dots, y(t)y(t+T_q)$ , где  $q \in Z_M$ . Сложность восстановления в этом случае увеличивается в  $q$  раз -  $O(qsM \log(M))$ .

### III. ИССЛЕДОВАНИЕ ЭФФЕКТИВНОСТИ АЛГОРИТМА

Проведены исследования эффективности рассмотренного алгоритма при различных значениях  $q$ . Тестовый сигнал содержит однотоновые частотные компоненты, случайно распределенные по спектру. Для оценки эффективности восстановления вычисляется коэффициент восстановления

$$K = s / (s - N_{error}),$$

где  $N_{error}$  - число пропущенных или ошибочно восстановленных спектральных компонент.

Успешно восстановленной считается компонента, если её частота соответствует исходной, а амплитуда сходится с допуском  $\pm 20\%$ . Ниже приведена зависимость коэффициента восстановления от степени разреженности входного сигнала при соотношении сигнал/шум -  $20\text{дБ}$ .

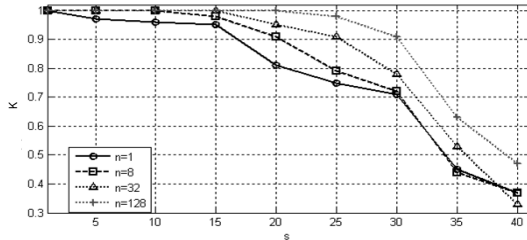


Рис. 6. Зависимость коэффициента восстановления  $K$  от числа ненулевых отсчетов ( $N = 512$ ,  $M = 128$ ,  $SNR = 20\text{дБ}$ )

Результаты исследования влияния шума на эффективность восстановления приведены на рис. 7.

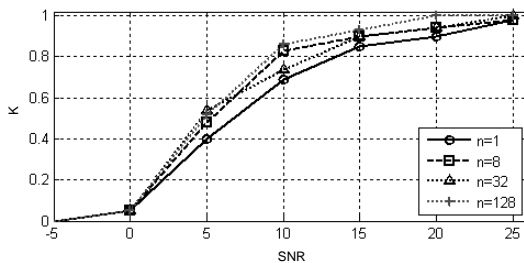


Рис. 7. Зависимость коэффициента восстановления  $K$  от уровня шума  $SNR$  в дБ для  $s = 15$ ,  $N = 512$ ,  $M = 128$

#### IV. ИСПОЛЬЗОВАНИЕ ЛЧМ - КОДИРОВАНИЯ В РАДИОПРИЕМНЫХ УСТРОЙСТВАХ ПРЯМОГО ПРЕОБРАЗОВАНИЯ

Одной из сфер применения рассмотренных методов может являться радиотехника. Ниже будет приведен вариант использования ЛЧМ - кодирования для расширения полосы приема в радиоприемных устройствах (РПУ) прямого преобразования.

Структура РПУ приведена на рис. 8. Входной широкополосный сигнал  $x(t)$  подается на синфазный и квадратурный каналы, в которых происходит его перенос на нулевую частоту. Частота гетеродина равна  $f_c$ . После переноса сигнал проходит через перестраиваемый фильтр нижних частот  $H(z)$  и синхронно дискретизируется в АЦП. Для тактирования АЦП используется ЛЧМ - сигнал  $p(t)$ , средняя частота которого задано ниже полосы сигнала, пропускаемого через  $H(z)$ .

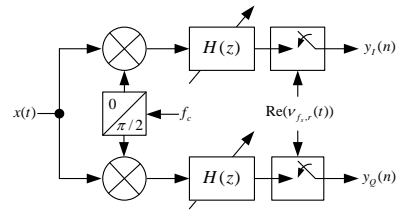


Рис. 8. Структура РПУ прямого преобразования

Перестраиваемый ФНЧ необходим для регулирования ширины полосы сжимаемого сигнала в зависимости от мощности шума и степени разреженности  $x(t)$ . Реализовать его можно, например, с помощью переключаемых ФНЧ, настроенных на различные полосы приема  $f_s/2$ ,  $f_s$ ,  $2f_s$  и т.д.

Сигнал  $p(t)$  проще всего сгенерировать с помощью интегрального синтезатора прямого цифрового синтеза, работающего в режиме линейного изменения частоты.

#### V. ЗАКЛЮЧЕНИЕ

Результаты, представленные в данной работе, позволяют обеспечить проектирование радиоприемных устройств, обрабатывающих сигналы, распределенные в широкой полосе частот. При этом обеспечивается возможность реализации сложных эффективных алгоритмов за счет выбора частоты дискретизации меньшей, чем того требует теорема отсчетов.

#### ПОДДЕРЖКА

Работы поддержаны грантом УМНИК-1-13-1.

#### ЛИТЕРАТУРА

- [1] Donoho D.L. Compressed Sensing // IEEE Transactions on Information Theory. 2006. V. 52(4). P. 1289-1306.
- [2] Candès E.J. The restricted isometry property and its implications for compressed sensing // Compte Rendus de l'Academie des Sciences. Serie I. 2008. P. 589-592.
- [3] Граничин О.Н, Павленко Д. В. Рандомизация получения данных и L1-оптимизация (опознавание со сжатием): Обзор // Автоматика и телемеханика. 2010. № 11.
- [4] Tropp J.A., Wright S.J. Computational methods for sparse solution of linear inverse problems // Proc. IEEE. 2010. V. 98. № 6. P. 948-958.
- [5] Calderbank R., Howard S., Jafarpour S. Construction of a Large Class of Deterministic Sensing Matrices That Satisfy a Statistical Isometry Property // IEEE Journal of Selected Topics in Signal Processing. 2010. P. 358-374.
- [6] Applebaum L., Howard S., Searle S., Calderbank R. Chirp sensing codes: Deterministic compressed sensing measurements for fast recovery // Applied and Computational Harmonic Analysis. 2009. V. 26(2). P. 283-290.
- [7] Fudge G.L., Bland R.E., Chivers M.A., et all. A Nyquist folding analog-to-information receiver // Proc. 42<sup>nd</sup> Asilomar Conf. on Signals, Systems and Computers. 2008. P. 541-545.